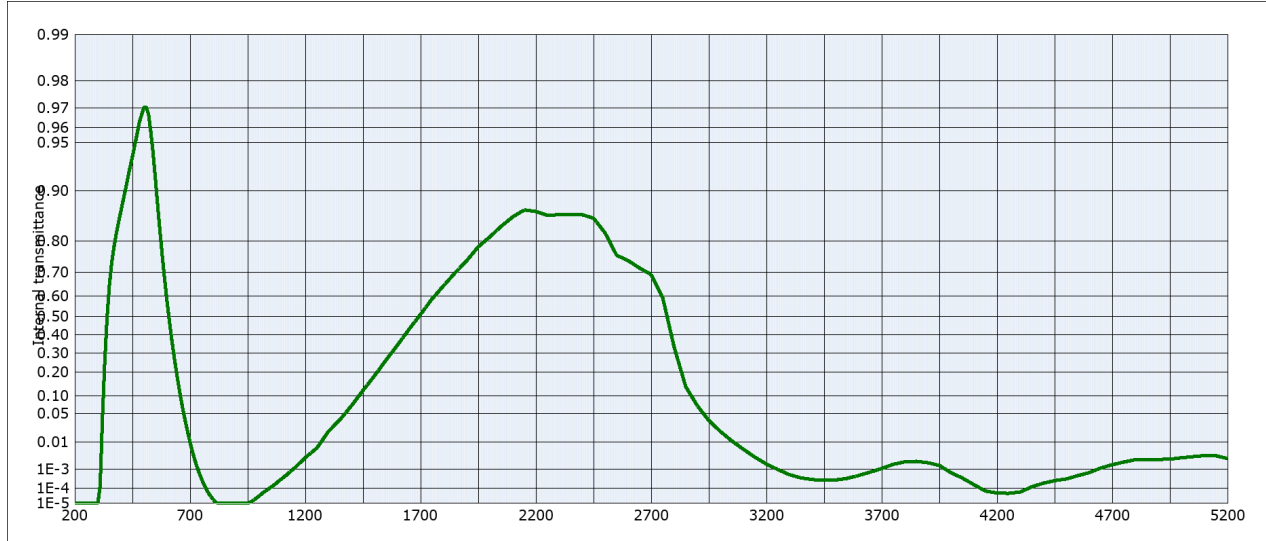


DATA SHEET

SCHOTT BG39



Internal transmittance τ_i at reference thickness $d = 1$ mm
The internal transmittance values, tabulated and graphically represented, are reference values only

λ [nm]	τ_i	λ [nm]	τ_i	λ [nm]	τ_i	λ [nm]	τ_i	λ [nm]	τ_i	λ [nm]	τ_i
200	$< 10^{-5}$	500	0.970	800	$1.9 \cdot 10^{-5}$	1100	$3.7 \cdot 10^{-4}$	2200	0.866	3700	$1.1 \cdot 10^{-3}$
210	$< 10^{-5}$	510	0.970	810	$1.3 \cdot 10^{-5}$	1110	$4.6 \cdot 10^{-4}$	2250	0.859	3750	$1.6 \cdot 10^{-3}$
220	$< 10^{-5}$	520	0.967	820	$< 10^{-5}$	1120	$5.5 \cdot 10^{-4}$	2300	0.860	3800	$2.1 \cdot 10^{-3}$
230	$< 10^{-5}$	530	0.957	830	$< 10^{-5}$	1130	$7.0 \cdot 10^{-4}$	2350	0.860	3850	$2.2 \cdot 10^{-3}$
240	$< 10^{-5}$	540	0.941	840	$< 10^{-5}$	1140	$8.8 \cdot 10^{-4}$	2400	0.860	3900	$1.9 \cdot 10^{-3}$
250	$< 10^{-5}$	550	0.914	850	$< 10^{-5}$	1150	$1.1 \cdot 10^{-3}$	2450	0.853	3950	$1.5 \cdot 10^{-3}$
260	$< 10^{-5}$	560	0.874	860	$< 10^{-5}$	1160	$1.3 \cdot 10^{-3}$	2500	0.820	4000	$7.0 \cdot 10^{-4}$
270	$< 10^{-5}$	570	0.820	870	$< 10^{-5}$	1170	$1.7 \cdot 10^{-3}$	2550	0.758	4050	$3.8 \cdot 10^{-4}$
280	$< 10^{-5}$	580	0.751	880	$< 10^{-5}$	1180	$2.0 \cdot 10^{-3}$	2600	0.740	4100	$1.7 \cdot 10^{-4}$
290	$< 10^{-5}$	590	0.668	890	$< 10^{-5}$	1190	$2.4 \cdot 10^{-3}$	2650	0.714	4150	$7.0 \cdot 10^{-5}$
300	$< 10^{-5}$	600	0.575	900	$< 10^{-5}$	1200	$3.1 \cdot 10^{-3}$	2700	0.690	4200	$5.2 \cdot 10^{-5}$
310	$1.5 \cdot 10^{-4}$	610	0.476	910	$< 10^{-5}$	1250	$6.6 \cdot 10^{-3}$	2750	0.592	4250	$5.0 \cdot 10^{-5}$
320	$4.2 \cdot 10^{-2}$	620	0.378	920	$< 10^{-5}$	1300	$2.0 \cdot 10^{-2}$	2800	0.330	4300	$6.0 \cdot 10^{-5}$
330	0.256	630	0.287	930	$< 10^{-5}$	1350	$3.8 \cdot 10^{-2}$	2850	0.136	4350	$1.2 \cdot 10^{-4}$
340	0.494	640	0.207	940	$< 10^{-5}$	1400	$7.0 \cdot 10^{-2}$	2900	$7.0 \cdot 10^{-2}$	4400	$2.0 \cdot 10^{-4}$
350	0.647	650	0.142	950	$1.0 \cdot 10^{-5}$	1450	0.121	2950	$3.6 \cdot 10^{-2}$	4450	$2.8 \cdot 10^{-4}$
360	0.732	660	$9.2 \cdot 10^{-2}$	960	$1.2 \cdot 10^{-5}$	1500	0.184	3000	$2.0 \cdot 10^{-2}$	4500	$3.4 \cdot 10^{-4}$
370	0.783	670	$5.7 \cdot 10^{-2}$	970	$1.5 \cdot 10^{-5}$	1550	0.262	3050	$1.1 \cdot 10^{-2}$	4550	$5.0 \cdot 10^{-4}$
380	0.818	680	$3.4 \cdot 10^{-2}$	980	$1.9 \cdot 10^{-5}$	1600	0.344	3100	$6.0 \cdot 10^{-3}$	4600	$7.0 \cdot 10^{-4}$
390	0.845	690	$1.9 \cdot 10^{-2}$	990	$2.6 \cdot 10^{-5}$	1650	0.431	3150	$3.1 \cdot 10^{-3}$	4650	$1.1 \cdot 10^{-3}$
400	0.867	700	$1.0 \cdot 10^{-2}$	1000	$3.4 \cdot 10^{-5}$	1700	0.510	3200	$1.7 \cdot 10^{-3}$	4700	$1.6 \cdot 10^{-3}$
410	0.886	710	$5.0 \cdot 10^{-3}$	1010	$4.5 \cdot 10^{-5}$	1750	0.586	3250	$9.6 \cdot 10^{-4}$	4750	$2.0 \cdot 10^{-3}$
420	0.902	720	$2.6 \cdot 10^{-3}$	1020	$5.9 \cdot 10^{-5}$	1800	0.646	3300	$5.6 \cdot 10^{-4}$	4800	$2.5 \cdot 10^{-3}$
430	0.917	730	$1.3 \cdot 10^{-3}$	1030	$7.5 \cdot 10^{-5}$	1850	0.697	3350	$3.9 \cdot 10^{-4}$	4850	$2.6 \cdot 10^{-3}$
440	0.929	740	$6.5 \cdot 10^{-4}$	1040	$9.2 \cdot 10^{-5}$	1900	0.740	3400	$3.1 \cdot 10^{-4}$	4900	$2.6 \cdot 10^{-3}$
450	0.939	750	$3.3 \cdot 10^{-4}$	1050	$1.2 \cdot 10^{-4}$	1950	0.783	3450	$2.9 \cdot 10^{-4}$	4950	$2.6 \cdot 10^{-3}$
460	0.948	760	$1.7 \cdot 10^{-4}$	1060	$1.5 \cdot 10^{-4}$	2000	0.810	3500	$3.0 \cdot 10^{-4}$	5000	$3.0 \cdot 10^{-3}$
470	0.956	770	$9.3 \cdot 10^{-5}$	1070	$1.8 \cdot 10^{-4}$	2050	0.836	3550	$3.6 \cdot 10^{-4}$	5050	$3.3 \cdot 10^{-3}$
480	0.963	780	$5.1 \cdot 10^{-5}$	1080	$2.3 \cdot 10^{-4}$	2100	0.856	3600	$5.1 \cdot 10^{-4}$	5100	$3.6 \cdot 10^{-3}$
490	0.967	790	$3.0 \cdot 10^{-5}$	1090	$3.0 \cdot 10^{-4}$	2150	0.869	3650	$7.4 \cdot 10^{-4}$	5150	$3.5 \cdot 10^{-3}$